

III-62 走行する荷車の振動源による地盤の振動

立命館大学理工学部土木工学科教室 正員 島山直隆
同 上 正員 早川清

都市の再開発による道路網の整備増強に伴い自動車の流れがよくなるとともに交通量が増大し、交通車両の大型化なども原因して沿道住民の振動によく苦情が多くなっています。道路上を通過する自動車によって惹起される振動は道路の周辺の地盤に伝播し、さらにその地盤上にある建物などを振動させ公害問題と引き起すのであるが、この振動は地盤の弾性的要素、道路舗装の種類、舗装状態の良否、勾配、自動車の種類、重量、走行速度などが関係する。騒音についてはすでに自動車走行時の測定方法や予測の方法についての研究ばかりではなくて、車輪の振動については地盤と関わる弾性波の複雑さのために道路行走の振動問題は騒音に比して影響範囲とその程度が小さかつたためか個々の測定はなされていません。しかし、この研究はあまり行なわれていないようと思われる。ここでは主として道路を走行する自動車による振動強度の予測の方法を提出したが半無限弹性体としての地盤上に外力が働く場合の地盤の表面上における振動を求めて、実際の道路にて測定した結果を用いて地盤上の振動強度、加速度を計算し、走行車による実測値との対応を調べ、振動強度の予測をする式について検討を行ない、また自動車が斜面上を走行する場合にはその振動強度が増大する実験結果も検討を行なった。

(1) 半無限弹性体の表面に力を加えたときに発生する弾性波：これに関する研究はまず Rayleigh によって弾性体の表面に沿うて波動が伝わりうることが証明され、ついで Lamb などによってこの波動の生成機構が明らかにされたことに始まる。Lamb, 中野, 宏野, 鮎沢, 金井など多くの研究がある。自動車による地盤の振動はその走行速度が地盤と関わる弾性波の伝播速度に比して甚だ小さいので、振動源は静止状態にあるとみなして Lamb やなどに基づいて求めた理論解を利用するところにする。

半無限弹性体の表面に荷重をとり、荷重に $R \cdot e^{i\omega t}$ なる鉛直力が働く場合の表面の振動を3次元的に求めた上下方向変位は次式で与えられる。

$$w_0 = \frac{\kappa R}{2\mu} K \sqrt{\frac{2}{\pi \kappa x}} \cdot e^{i(\omega t - \kappa x - \frac{1}{4}\pi)} \quad (1)$$

ここで $P/h = V_p$ (継波速度), $P/k = V_s$ (横波速度), $P/\kappa = V_R$ (Rayleigh 波速度), x : 距離, μ : ラメの常数, f : 單位体積質量(地盤), $\alpha_1 = \sqrt{\kappa^2 - h^2}$, $\beta_1 = \sqrt{\kappa^2 - k^2}$, $f(K) = 8\alpha_1\beta_1\kappa^2$, $F(K) = (2K^2 - h^2)^2 - 2\alpha_1^2\beta_1^2$, $K = -2\alpha_1\beta_1^2(2K^2 - h^2)^2/F(K)f(K)$, (1)式によれば w_0 は Rayleigh 波の速度で四方に伝わり、距離の平方根に逆比例して小さくなることが知られる。なお衝撃型の力が働く場合の解も求められており、道路に大きな不陸がある場合を除いて大型車によるものは上述の周期力の働く場合の方が適合すると考えられる。

いま地盤のホアンソン比を $1/3$ とすれば $V_p = 2V_s$, $V_R = 0.928V_s$ となる。 $V_p = 0.00613$ $m^4/kg \cdot sec^2$, $R = 10 \text{ ton}$ と (1)を計算すると

$$\frac{dw_0}{dt} = 1660 \cdot V_R^{-\frac{1}{2}} \cdot P^{\frac{3}{2}} \cdot \sqrt{\frac{1}{x}} \cdot \sin(\omega t - \frac{P}{V_R}x - \frac{1}{4}\pi) \quad (\text{m/sec}) \quad (2)$$

(2) 実測資料による計算と予測式： 大阪市内道路上において実測した若干例を用いることにす。西成区国道26号線においてはトラックなどによって惹起された振動の伝播速度は $175 \sim 227 \text{ m/sec}$, 生野区勝山通りでは $250 \sim 400 \text{ m/sec}$ であったので、これらの地盤の Rayleigh 波速度(V_R)をそれぞれ 200 m/sec , 300 m/sec とする。またこれらの地区における振動の周期は周期分析の結果最高レベルを示した中心周期は(1)

づれも 0.076" であった。つぎに R の大きさすなはち外力としてこの自動車の荷重に關係する量が問題となるが、(2)式では $R = 10 \text{ ton}$ としてある。これらの計算結果自動車の前後輪に 5ton ずつかかるとして実測値と対比して図示するとオ1、ス1のようになる。図中には公害振動計といわれるメーター指示方式の計器で測定した振動速度のピーク値を示しておいた。ただし実測値はすべて多く測定値中の最大値で示した。また加速度についても同様に求めたところである。オ1、ス1によれば計算値も実測値もかなりよく一致することが知られる。したがって(2)式の振動速度を次の形にかくことができる。

$$\frac{dw_0}{dt} = C \cdot V_R^{-\frac{5}{2}} \cdot P^{\frac{5}{2}} \sqrt{\frac{1}{x}} \quad \dots \dots \dots (3)$$

また加速度は

$$\frac{d^2w_0}{dt^2} = C' \cdot V_R^{-\frac{5}{2}} \cdot P^{\frac{5}{2}} \sqrt{\frac{1}{x}} \quad \dots \dots \dots (4)$$

(3)、(4)式中の C 、 C' は主として道路の状況、自動車の重量と速度に関する影響を含む係数である。種々の条件下で多くの実験からこの係数を定めねばよい。

(3) 2台の自動車が連つて走行したときの車頭間隔の影響: オ3図のように2台の車頭間隔で走行しているとき A 実における振幅を考えると(2)式より A 実における自動車については

$$\frac{dw_{0A}}{dt} = P_A \sin(pt - \frac{P}{V_R} l - \frac{1}{4}\pi)$$

B 実における自動車については

$$\frac{dw_{0B}}{dt} = P_B \sin(pt - \frac{P}{V_R} \sqrt{l^2+x^2} - \frac{1}{4}\pi)$$

とかくことができるので、O 実における

合成振幅は

$$\left(P_A^2 + P_B^2 + 2P_A P_B \cos \frac{P}{V_R} (l - \sqrt{l^2+x^2}) \right)^{\frac{1}{2}}$$

となるので $\frac{P}{V_R} (l - \sqrt{l^2+x^2}) = \pm 2n\pi$ のとき最大となる。(いま上式によって $n=1$ のときの x を求めるとして l によって異り、オ1表のようになる。オ4図に大阪市に

l	5	10	15	20
x	8.9	23.1	26.2	29.0
	19.6			

オ1表

単位: m.

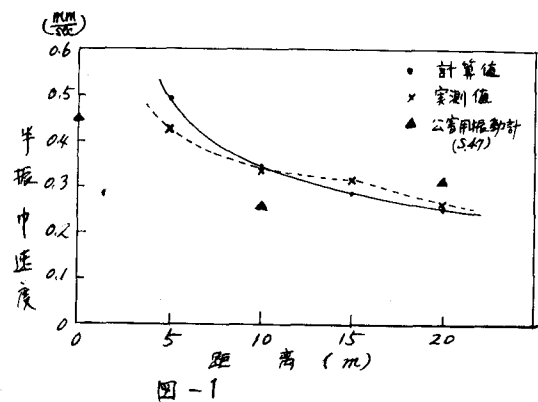


図-1

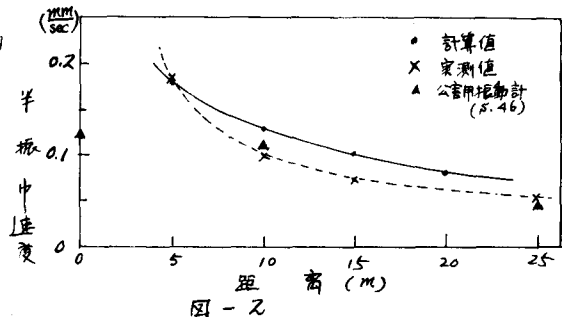


図-2

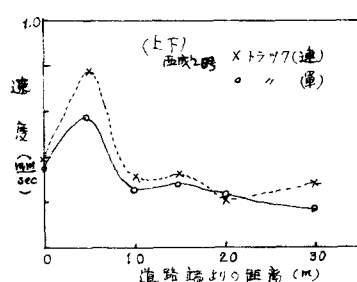


図-4

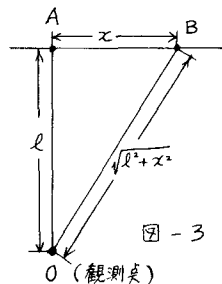


図-3

おける実例を示した。(しかしこの場合は車頭間隔は不明である。

一般に地盤の振動は成層条件の影響から振動源からの距離にしたがつて一概に減衰せず「凹凸」を画いて次第に減少するので上述の(3)、(4)式の適用のしにくい場合もありうるが、さうして自動車が連つて走行したときはこの車頭間隔によって常に振幅が大きくなる場合がある。上述の予測式を作成するにあつてはこれら2条件を考慮に入れておかなければならぬ。